

砂地盤の接触圧分布に関する実験的研究

鳥取大学 正員 腹見 雅
鳥取大学 学員 森野久宗
鳥取大学 学員 ○箕作光一

1 まえがき

円形剛基礎のような三次元軸対称問題として支持力の塑性解析を行なうと、中間主応力が支持力係数、および接触圧分布にかなり大きな影響を及ぼすということを著者の一人は報告したことがある。¹⁾ 本研究はこの中間主応力を注目して、理論計算によって接触圧分布を求める一方、室内模型実験によりそれを求め、両者を比較検討するものである。そのために実験においては地盤と基礎底面の間の接触圧分布を測定するための接触圧分布計を試作したので、それについて報告する。

2 接触圧分布の理論解析

土がモール・クーロンの破壊条件を満足する剛塑性体であると仮定し、三次元軸対称問題として理論解析を行なう。そこで本研究においては地表面載荷の場合を考慮して、中間主応力係数 $K^* \leq \delta_2 = \delta_3 + K^*(\delta_1 - \delta_3) [0 \leq K^* \leq 1]$ と定義し、 K^* の値を変化させることにより自重および粘着力による接触圧分布を求める。

解析にあたっては、基礎底面は完全にあらいたし、また円周方向の応力が中間主応力になるものと仮定する。まず図-1において任意要素、 Δ 釣合いを考え

$$\left. \begin{aligned} \frac{\partial \sigma_z}{\partial z} + \frac{\partial \tau_{rz}}{\partial r} - \frac{\tau_{rz}}{r} &= \gamma \\ \frac{\partial \sigma_z}{\partial r} + \frac{\partial \tau_{rz}}{\partial z} - \frac{\sigma_z - \delta_3}{r} &= 0 \end{aligned} \right\} \quad (1)$$

となる。また (r, z) 平面に関する二次元のモール・クーロンの破壊条件式として

$$\delta_{sp} = C + \delta_3 \tan \phi \quad (2)$$

を用いる。ここで δ_{sp} は破壊面に沿うせん断強度で、 C (土の粘着力) ϕ (土のせん断抵抗角) は上中で一定とする。 δ_{sp} は有効圧である。式(1)(2)を整理すると次式のような拡張した Mohr-Coulomb の方程式が得られる。

$$\left. \begin{aligned} \frac{dP}{ds_1} - 2 \left(P \tan \phi + \frac{C}{\cos \phi} \right) \frac{d\theta}{ds_1} - \gamma \sin(\theta - \phi) + \frac{1}{r} \left(P \tan \phi + \frac{C}{\cos \phi} \right) \{ (2K^* - 1) \cos(\theta - \phi) + \sin \theta \} \\ \frac{dP}{ds_2} + 2 \left(P \tan \phi + \frac{C}{\cos \phi} \right) \frac{d\theta}{ds_2} - \gamma \cos \theta - \frac{1}{r} \left(P \tan \phi + \frac{C}{\cos \phi} \right) \{ (2K^* - 1) \sin \theta + \cos(\theta - \phi) \} \end{aligned} \right\} \quad (3)$$

ここで P はすべり線上の有効圧に基づくせん断抵抗合応力であり、 $(\delta_1 + \delta_3)/2 = P/\cos \phi + C \tan \phi$ なる関係を満たすものである。 s_1, s_2 はすべり線で θ は s_1 すべり線と r 軸とのなす角である。一方 s_1, s_2 すべり線に沿ってそれが幾何学的関係より

$$\frac{dz}{dr} = \tan \theta, \quad \frac{ds}{dr} = \tan \left(\frac{\pi}{2} - \phi + \theta \right) \quad (4)$$

が成り立つ。そこで式(3), (4)を差分方程式に書き改め、応力の境界条件のもとで逐次数値計算法によりすべり線網目を組み立てることにより基礎底面における鉛直応力を求めることができた。ここで理論的な接触圧分布が求まる。

$$\begin{aligned} \frac{\sigma_z}{C} &= \frac{P}{C} \cdot \frac{1}{\cos \phi} \left\{ \sin^2 \theta + \cos^2(\theta - \phi) + \frac{2}{\cos \phi} \sin \theta \cos(\theta - \phi) \right\} \\ \frac{\sigma_z}{BP} &= \frac{P}{BP} \cdot \frac{1}{\cos \phi} \left\{ \sin^2 \theta + \cos^2(\theta - \phi) \right\} \end{aligned}$$

ここに B は基礎の半径を示す。

3 室内模型実験

実験に用いた地盤試料は自然乾燥した鳥取砂丘砂であり、その土質工学的性質は比重 $G_s = 2.66$, 均等係数 $U_c =$

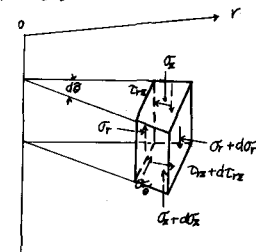


図-1 応力の釣合い

2.16, せん断抵抗角 $\gamma = 36^\circ$, 単位体積重量 $\gamma = 1.69 \text{ kN/m}^3$, 間隔比 $C = 0.57$, 粘着力 $C = 88$ である。実験装置の概略図は図-2に示すとおりであり、図中の13本のアルミ棒から成り、そのうちの12本により接触圧分布を測定する。なお①の詳細図は図-3.4に示す。

図-4は基礎底面を示し、図中の番号は抵抗線ひずみゲージとはててあるアルミ棒を示している。以上の装置により地表面載荷時の接触圧分布が測定できる。載荷法は既下計によるひずみ制御法(ひずみ速度 0.6 mm/min), 応力制御法(各荷重段階約 0.07 kg/cm^2)の两者を採用し、その差異も考慮された。また、本実験の接触圧分布は荷重一定下曲線と両対数紙上に描いたときの第一折れ点に相当する降伏荷重時の接触圧分布を採用した。

4 理論計算結果と実験結果の比較検討

本研究の結果は図-5に示しているが、比較検討が容易のように経横軸とも影響値に直し、比較検討することとした。ここで理論的な接触圧分布は自重と粘着力による接触圧分布が別々に求まるので、本研究においてはテルツィヤーゲーの極限支承力公式

$$q_u = C N_c + \frac{1}{2} B \gamma N_y \quad (6)$$

において右辺の第一項と第二項との比を考慮し、それぞれ $K=0.0, 0.25, 0.50$ の時と別々に計算し、あとで接触圧分布を破線で示している。つぎに実験的に求まる接触圧分布は実線で示しているが載荷法により R/R が $0.7 \sim 1.0$ つまり基礎の端部付近で大きく異なる。一方で、このことは応力制御法では、各荷重段階の間隔を約2分間としたがその時に基礎端部付近の粘着成分が徐々に逃げていき、その結果として連続的ひずみ制御法と比較した場合、その差異が生じていると思われる。さて、図-5の結果から中間主応力係数 K を接触圧分布より推定するには $K=0.0$ の時が一番、実際地盤の接触圧分布によく一致しているように思われる。

5 あとがき

本研究において得られた結果を要約するとつぎのことである。

(1) 接触圧分布により中間主応力係数 K を推定すると $K=0.0$ の

時にもっともよく合い、Harr-Karmanの仮定 ($\delta_2=\delta_3$) の妥当性がうかがえる。

(2) 同一地盤であっても応力制御法、ひずみ制御法の載荷法によつて

求まる実験的接触圧分布が異なることが確認できた。

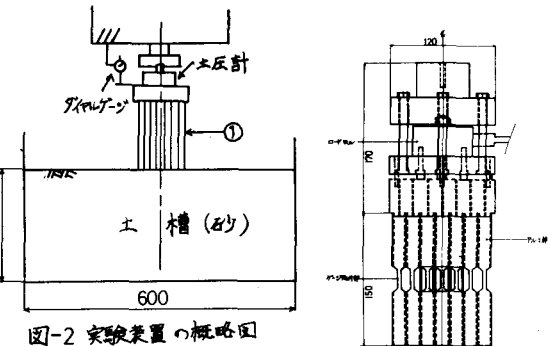


図-2 実験装置の概略図

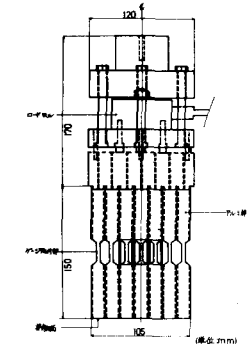


図-3 接触圧分布計

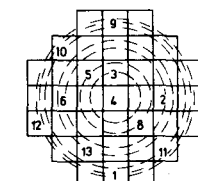


図-4 基礎底面詳細図

—□—	応力制御法
—△—	ひずみ制御法
- - ■ -	$K=0.00$
- - ▲ -	$K=0.25$
- - ● -	$K=0.50$

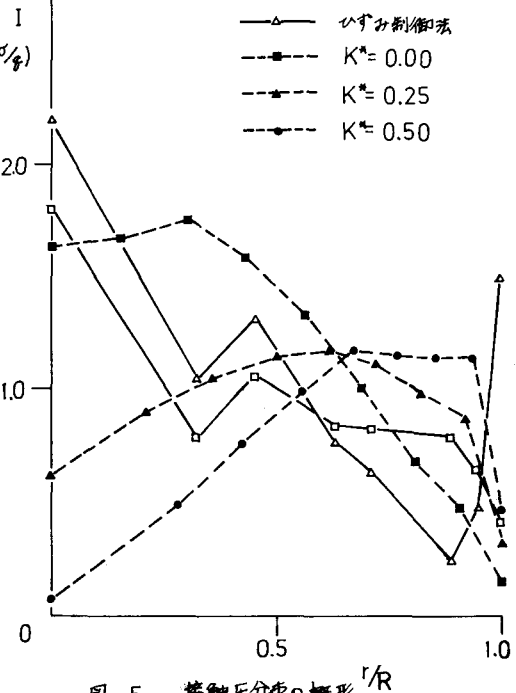


図-5 接触圧分布の概形 R/R

〔参考文献〕
 1) 藤見 康、中間主応力に注目した円形
 地盤の支承力に関する研究
 工業学会論文報告集第252号昭51.8
 2) 佐井若一、土質力学、朝倉書店
 P.206 第53.4